

二車輪型倒立振子の姿勢制御

2009SE136 小西孝典

指導教員:陳幹

1 はじめに

本研究の目的は Vstone 株式会社から販売されている二車輪型倒立振子ロボットの BeatoBalancerDuo(以下 BBD) の姿勢制御を目的とする。

2 制御対象とモデリング

BBD は二つの車輪の上部にそれぞれモータが搭載されており、モータの回転を摩擦によって車輪に伝達する仕組みを持っている。またロータリーエンコーダにより左右の車輪の回転角を、ジャイロセンサにより車体の角速度を得て、倒立制御を実現している [1]。BBD は 2 本の単三電池を主電源としており、実験では一本 1.2[V] の電池を用いる。

本研究では BBD の姿勢制御を行うので、右の図 1 のような簡略図を用いて二次元平面でのモデリングを行った。

2.1 物理定数

BeatoBalancerDuo に関する物理定数を下の表 1 にまとめた。

表 1 物理定数

記号	名前	値	単位
R_m	モータの電気抵抗	0.6818	[Ω]
K_b	モータの逆起電力定数	0.0014	[Vs/rad]
K_t	モータのトルク定数	0.0012	[Nm/A]
f_m	モータと車体の間にある摩擦の摩擦係数	4.9825×10^{-7}	[—]
f_w	床と車体の間にある摩擦の摩擦係数	0	[—]
g	重力加速度	9.8100	[m/s ²]
R_w	車輪の半径	0.0207	[m]
M_w	車輪の質量	0.0053	[g]
M_m	モータの質量	0.0075	[g]
M_b	車体の質量	0.1453	[kg]
J_w	車輪の慣性モーメント	2.2710×10^{-6}	[kgm ²]
J_m	モータの慣性モーメント	3.8274×10^{-6}	[kgm ²]
J_b	車体の慣性モーメント	6.6336×10^{-4}	[kgm ²]
L	車輪の中心から車体の重心までの長さ	0.0520	[m]
l	車輪の中心からモータ軸までの距離	0.0217	[m]
G_r	モータと車輪とのギア比	20.7	[—]

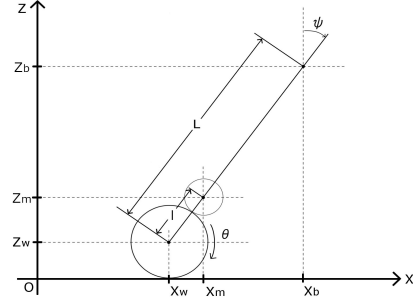


図 1 BeatoBalancerDuo のモデル図

2.2 運動方程式の導出

運動方程式の導出にはラグランジュの運動方程式を用いる。ラグランジアン \mathcal{L} を次のように定義する。

$$\mathcal{L} = (T_1 + T_2) - U \quad (1)$$

このとき、 T_1 は制御対象の並進運動のエネルギー、 T_2 は回転運動のエネルギー、 U は重力のポテンシャルエネルギーであり以下の式で表現することができる。

$$T_1 = \frac{1}{2} M_b (\dot{x}_b^2 + \dot{z}_b^2) + 2 \left(\frac{1}{2} M_m (\dot{x}_m^2 + \dot{z}_m^2) + 2 \left(\frac{1}{2} M_w (\dot{x}_w^2 + \dot{z}_w^2) \right) \right) \quad (2)$$

$$T_2 = \frac{1}{2} J_b \dot{\psi}^2 + 2 \left(\frac{1}{2} J_m G_r^2 (\dot{\psi} - \dot{\theta})^2 \right) + 2 \left(\frac{1}{2} J_w \dot{\theta}^2 \right) \quad (3)$$

$$U = M_b g z_b + 2(M_m g z_m) + 2(M_w g z_w) \quad (4)$$

次に一般化力 F_θ と F_ψ はラグランジュの運動方程式を用いて求め、その中に含まれる非線形項に対してマクロリン展開を適用することで次のように表せる。

$$F_\theta = ((M_b + M_m + M_w) R_w^2 + J_m G_r^2 + J_w) \ddot{\theta} + ((M_b L + M_m l) R_w - J_m G_r^2) \ddot{\psi} \quad (5)$$

$$F_\psi = ((M_b L + 2 M_m l) R_w - 2 J_m G_r^2) \ddot{\theta} + (M_b L^2 + 2 M_m l^2 + J_b + 2 J_m G_r^2) \ddot{\psi} - (M_b L + 2 M_m l) g \psi \quad (6)$$

またこれらの F_θ と F_ψ はモータからの外力ともいえるので、モータから与えられるトルクとして以下のように表現できる。

$$F_\theta = 2 G_r (K_{ti} - f_m G_r (\dot{\psi} - \dot{\theta}) + f_w \dot{\theta}) \quad (7)$$

$$F_\psi = -2G_r(K_t i - f_m G_r(\dot{\psi} - \dot{\theta})) \quad (8)$$

次にモータの電氣的振る舞いは次式で表すことができる。

$$v = L_m \dot{i} + R_m i + K_b G_r(\dot{\psi} - \dot{\theta}) \quad (9)$$

このときコイルのインダクタンス L_m は非常に小さなものとみなせるので、 $L_m = 0$ とする。

この条件と式 (9), (10), (11) より新たに一般化力 F_θ , F_ψ は次のようにあらわせる。

$$F_\theta = 2G_r^2 \left(\frac{K_t K_b}{R_m} + f_m \right) (\dot{\theta} - \dot{\psi}) + 2G_r \frac{2K_t}{R_m} v \quad (10)$$

$$F_\psi = -2G_r^2 \left(\frac{K_t K_b}{R_m} + f_m \right) (\dot{\theta} - \dot{\psi}) - 2G_r \frac{2K_t}{R_m} v \quad (11)$$

2.3 状態空間表現

式 (5), (6), (10), (11) の結果を式 (12) の形にまとめる

$$E \begin{bmatrix} \ddot{\theta} \\ \ddot{\psi} \end{bmatrix} + F \begin{bmatrix} \dot{\theta} \\ \dot{\psi} \end{bmatrix} + G \begin{bmatrix} \theta \\ \psi \end{bmatrix} = H v \quad (12)$$

この時、行列 E, F, G, H は以下ようになる。

$$E = \begin{bmatrix} e_{11} & e_{12} \\ e_{21} & e_{22} \end{bmatrix}$$

$$e_{11} = ((M_b + 2M_m + 2M_w)R_w^2 + 2(J_m G_r^2 + J_w))$$

$$e_{12} = e_{21} = ((M_b L + 2M_m l)R_w - 2J_m G_r^2)$$

$$e_{22} = (M_b L^2 + 2M_m l^2 + J_b + 2J_m G_r^2)$$

$$F = \begin{bmatrix} 2(f_m + \frac{K_t K_b}{R_m})G_r^2 & -2(\frac{K_t K_b}{R_m} + f_m)G_r^2 \\ -2(\frac{K_t K_b}{R_m} + f_m)G_r^2 & 2(f_m + \frac{K_t K_b}{R_m})G_r^2 \end{bmatrix}$$

$$G = \begin{bmatrix} 0 & 0 \\ 0 & -(M_b L + M_m l)g \end{bmatrix}, H = \begin{bmatrix} \frac{2K_t}{R_m} \\ -\frac{2K_t}{R_m} \end{bmatrix}$$

式 (12) を変形することで次の状態空間表現 (13) の行列 A, B, C, x は次のように定義される。

$$\begin{cases} \dot{x} = Ax + Bu \\ y = Cx \end{cases} \quad (13)$$

$$A = \begin{bmatrix} O_{2 \times 2} & I_{2 \times 2} \\ -E^{-1}G & -E^{-1}F \end{bmatrix}, B = \begin{bmatrix} O_{2 \times 1} \\ E^{-1}H \end{bmatrix}$$

$$C = I_{2 \times 2}, x = \begin{bmatrix} \theta & \psi & \dot{\theta} & \dot{\psi} \end{bmatrix}$$

3 制御器設計

本研究では、最適レギュレータ理論を用いてコントローラの設計を行う [2]。

このとき得られたコントロールゲイン K と重み行列 Q , R を以下に示す。

$$K = \begin{bmatrix} -0.1000 & -39.6322 & -0.1905 & -5.2626 \end{bmatrix}$$

$$Q = \text{diag} \begin{bmatrix} 1 & 1 & 0.7 & 1 \end{bmatrix}, R = 100$$

4 シミュレーションと実験結果

次に、初期条件として $x = [2\pi \ 0 \ 0 \ 0]$ を与えたときのシミュレーションと、それと同じ条件の実験結果とを重ねたグラフを以下の図 2, 3, 4 に示す。シミュレーションと実験の時間はともに 10[s] である。

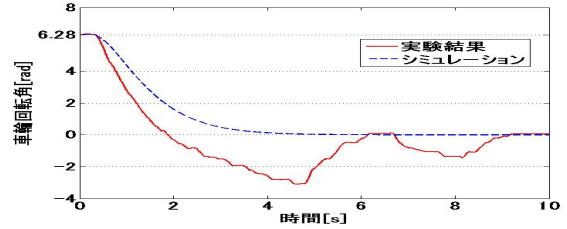


図 2 車輪回転角

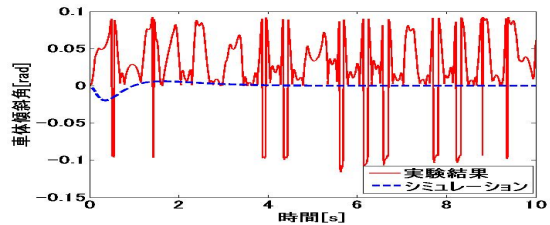


図 3 車体傾斜角

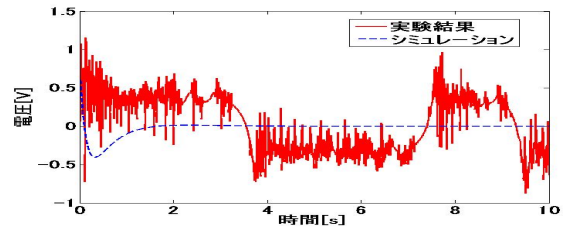


図 4 入力電圧

5 おわりに

実験結果から BBD の姿勢制御ができたといえる。しかしグラフから BBD の姿勢はやや振動的であるとみられる。これは実験データに含まれるノイズが大きいという理由が考えられる。そのためこれらを改善する方法としてデータ取得方法の見直しが挙げられる。

参考文献

- [1] ヴィストン:『H8 マイコンによる組み込みプログラミング入門』, オーム社 (2009)
- [2] 川田昌克:『MATLAB/Simulink による現代制御入門』, 東京, 森北出版株式会社 (2011)